

*Stanislav Kelčík*

**Expertný systém pre podporu dispečerského riadenia Sústavy vodných diel  
Gabčíkovo - Nagymaros**

**Expert system for a dispatching control of Waterwork Gabčíkovo - Nagymaros**

**Abstract**

Aim of the work was to create essential elements of an expert system (ES) that provide effective support for a dispatching control of Waterwork Gabčíkovo - Nagymaros (SVD-GN). Work was focused on reaching maximal operation safety of SVD-GN during flood discharges while maintaining operation of Gabčíkovo hydroelectric power plant. The work resulted in the parts of an expert system that consists of an inference engine, database and knowledge base during flood discharges for supporting the dispatching control of the Waterwork Gabčíkovo - Nagymaros (SVD-GN). The operation parameters of SVD-GN are a part of the external database including structure operation and prepared manipulation with discharge through SVD-GN. From steering matrix which was generated before, it is possible to provide the dispatcher with aggregate information from database and knowledge base. Dispatcher is also provided with information about expected impact of intended manipulation on operation parameters of SVD-GN along with information about possibilities and its real feasibility on structures of SVD-GN. The work also include proposal of an electronic version of the operation manual with the "watch dog" function.

**Key words:**

Expert system, Waterwork Gabčíkovo – Nagymaros, dispatching control support

**1 ÚVOD**

S rastúcou zložitosťou vodných stavieb a s rastúcim objemom vstupných dát sa zväčšujú nároky na riadenie vodných stavieb (VS), hlavne na riadenie v reálnom čase. Preto si kladieme otázku, či by sa aspoň časť dispečerského rozhodovania nedala presunúť na automatizované systémy riadenia alebo zabezpečiť zvýšenú podporu dispečerského rozhodovania. Takéto systémy by mali byť vybavené schopnosťou rozpoznávať rôzne javy, analyzovať vzťahy medzi nimi, vydávať logické závery pre rozhodovanie, predvídať ich dôsledky, zdokonaľovať svoje schopnosti učením a pod. Vlastnosti a schopnosti takýchto umelo vytvorených technických systémov sa súhrnnne nazývajú „umelá inteligencia“ (AI). Predstavujeme si ju ako zjednodušenú aproximáciu prirodzenej intelektuálnej činnosti človeka. Expertné systémy (ES), genetické algoritmy a neurónové siete sa javia ako najnádejnejšie smery AI pre aplikáciu vo vodnom hospodárstve.

**1.1 Umelá inteligencia a riešenie hydraulických problémov**

Využitie nástrojov a postupov umelej inteligencie (AI – Artificial Intelligence) sa čoraz viac uplatňuje pri súčasnom riešení nielen teoretických, ale hlavne praktických technických úloh. Typickými oblasťami v hydrotechnike sú úlohy spojené s optimalizáciou prevádzky vodohospodárskych objektov v bežnej prevádzke a zvýšenie bezpečnosti prevádzky VS v extrémnych prípadoch.

Životné prostredie je v období klimatickej zmeny čoraz viac zaťažované extrémnymi hydrologickými dejmi, ktoré musia byť následne buď celkovo, alebo aspoň čiastočne eliminované činnosťou na vodohospodárskych (VH) objektoch s cieľom zabezpečiť maximálnu bezpečnosť prevádzky VH objektov.

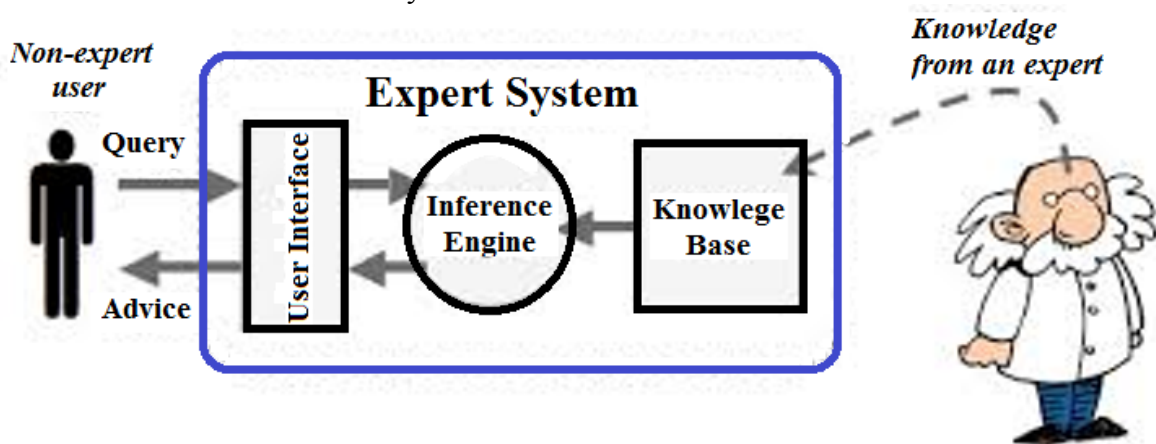
## 1.2 Expertné systémy

S rozvojom metód AI sa v 2. polovici 70. rokov minulého storočia dospelo k poznaniu, že pre vysokú efektivitu systémov AI sú rozhodujúce použité znalosti, zatiaľ čo obecný formálny aparát pre riešenie úloh poskytuje iba nástroj pre využívanie znalostí, a hrá teda skôr druhoradú úlohu. Značná pozornosť sa preto začala venovať problémom získavania, reprezentácie a využívania špeciálnych, expertných znalostí. Tak vznikli expertné systémy, ktorých sila spočíva práve v kvalite a rozsahu znalostí. Charakteristickým rysom expertných systémov (ES) je využívanie znalostí k vyvodzovaniu nových poznatkov.

Expertné systémy sa skladajú z:

- Databázy znalostí (Knowledge Base) – obsahuje vedomosti a skúsenosti expertov, ktoré sú obsiahnuté napr. v manipulačných poriadkoch vodných diel.
- Databázy dát (Data Base) – súbor všetkých údajov k danému prípadu, a to nielen historických, ale aj hypotetických, ktoré sú získané napr. prostriedkami modelového výskumu alebo matematického modelovania (MM).
- Riadiaceho mechanizmu (Inference Engine) – jeho úlohou je efektívne riadiť proces využívania databáz znalostí a dát s cieľom vyriešiť danú úlohu optimálnym, a hlavne bezpečným spôsobom.

Schéma takto definovaného expertného systému je zobrazená na obrázku 1.1. Takýto expertný systém môžeme označiť ako klasický.

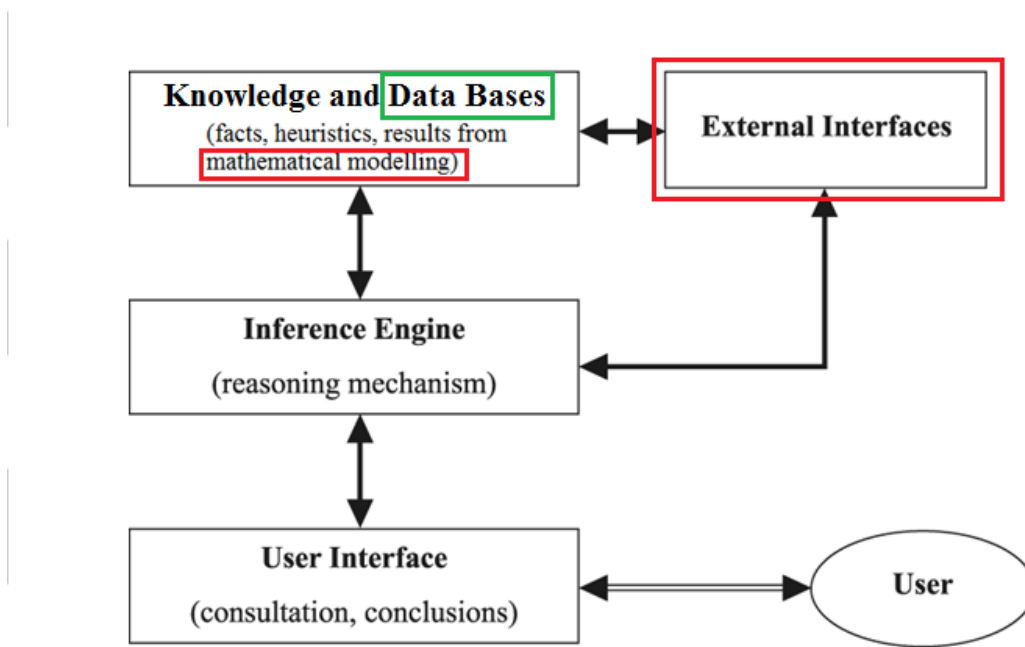


Obr. 1.1 Schéma klasického expertného systému (<http://www.igcseict.info>)

V takto definovanom systéme nám pre aplikovanie pri riešení vodohospodárskych (VH) problémov chýba modul styku s premenlivým vonkajším prostredím (External Interfaces). Schéma rozšíreného expertného systému s integrovaným rozhraním styku s vonkajším prostredím je na nasledujúcim obrázku 1.2.

Rozhranie s vonkajším prostredím (External interfaces) poskytuje expertnému systému z jednej strany:

- výsledky vonkajších meraní na vodnom diele,
- odvodene údaje ako sú napr. prietok a spád vody,
- informácie o prevádzkovom stave VH objektov na vodnom diele,
- prognózy vývoja dôležitých hydraulických charakteristik prúdenia vody ako je napr. predpokladaný nárast povodňového prietoku (predpovedná služba SHMÚ).



Obr. 1.2 Schéma rozšíreného expertného systému (expertsystem101.weebly.com)

Z druhej strany môže expertný systém cez rozhranie s vonkajším prostredím poskytovať:

- informácie pre autonómne riadiace systémy inštalované na VH objektoch,
- informácie o realizovaných a pripravovaných zmenách v prietoku pod VH stavbou pre centrálne riadiace orgány zriadené štátom – povodňové komisie.

Prevádzkanie extrémnych povodňových prietokov bude aj v budúcnosti riadené dispečermi na vodnom diele, a to vzhladom na:

- hroziace vysoké škody, a to nielen hospodárske,
- nedostatok historických skúseností s prevádzaním povodní, prakticky každá povodeň je jedinečná (kulminačný prietok, objem povodňovej vlny, dĺžka trvania povodne, strmosť nábehu a poklesu povodňovej vlny),
- nepresnosť výsledkov matematického modelovania, ktorá je daná zjednodušením modelovanej sústavy a zjednodušením charakteru prúdenia vody cez modelovaný subjekt.

## 2 CIEĽ PRÁCE A RIEŠENÉ ÚLOHY

Cieľom práce bolo vytvoriť základné prvky expertného systému zabezpečujúceho efektívnu podporu dispečerského riadenia Sústavy vodných diel Gabčíkovo – Nagymaros (SVD–GN) dosahujúceho maximálnu bezpečnosť prevádzky SVD-GN pri prevedení povodňových prietokov od  $6142 \text{ m}^3 \cdot \text{s}^{-1}$  (1. stupeň povodňovej aktivity (SPA)).

Na dosiahnutie tohto cieľa boli stanovené a riešené nasledovné úlohy:

- I. Hydraulická analýza prevedenia povodňovej vlny z roku 2013 (2002).
- II. Rozdelenie modelovaného úseku Dunaja Devín – Medveďov na dve samostatne modelované oblasti
  - A. úsek Devín – stupeň Čunovo – model HEC-RAS (27,62 km)
  - B. úsek stupeň Čunovo – Medveďov – model HDM2012 (staré koryto Dunaja 40,75 km, derivačný kanál 38,17 km).
- III. Zostavenie modelov, ich kalibrácia a aplikácia na prevedenie povodňovej vlny.
- IV. Analýza vodo hospodárskych objektov SVD-GN prevádzkovaných počas povodňových prietokov, digitalizácia merných kriviek objektov z manipulačného poriadku

- (Vodohospodárska výstavba, 2015, 2012) a vytvorenie nástrojov na poskytovanie odvodených prevádzkových údajov VH objektov.
- V. Vygenerovanie prevádzkových scenárov do databázy znalostí pre prevádzanie povodňových prietokov cez SVD-GN od  $Q = 6\ 100$  (1. SPA) do  $11\ 100$  (viac ako  $Q_{100}$ )  $\text{m}^3 \cdot \text{s}^{-1}$  (55 scenárov prevádzania uvedených povodňových prietokov do databázy dát).
- VI. Vytvorenie nástrojov na viacozmerné vyhľadávanie a interpolovanie (riadiaci mechanizmus) v scenároch prevádzky (databáza dát) s poskytnutím údajov o rozhodujúcich hydraulických údajoch ako sú horné a dolné prevádzkové hladiny na manipulačných objektoch vodnej elektrárne Gabčíkovo (VEG) a stupňa Čunovo.
- VII. Preskúmanie možnosti realizácie elektronickej verzie manipulačného poriadku VS a jej prínosov (databáza znalostí).

### 3 ZÁUJMOVÁ OBLASŤ APLIKÁCIE METÓD AI

#### 3.1 Rozdelenie oblasti podľa vodohospodárskeho účelu

Záujmovú oblasť aplikácie metód AI pre potreby prevádzania povodňových prietokov cez vodohospodárske stavby môžeme vo všeobecnosti rozdeliť na dve časti:

1. Oblast' A, ktorá sa nachádza nad VS, začína v riečnom profile, v ktorom je zabezpečené meranie hladín (odvodený údaj o prietoku vody), a v ktorom je zabezpečená predpovedná služba vývoja povodňovej situácie. Na tomto úseku toku je predpokladaná transformácia povodňového prietoku, ktorej výsledky slúžia ako vstupný prietok do oblasti B.
2. Oblast' B samotnej VS, ktorá je tvorená samotnými VH objektmi a ich prepojením, ktorým je definovaná ich vzájomná interakcia. Spôsob prevádzania povodňových prietokov má byť jednoznačne daný záväzným manipulačným poriadkom VS.

Záujmová oblasť je vymedzená na hornom okraji profilom Bratislava – Devín 1880,08 rkm a na dolnom okraji profilom Medveďov – most 1806,3 rkm (Obr. 3.1).



Obr. 3.1 Záujmová oblasť aplikácie metód AI (zdroj [www.google.sk/maps/](http://www.google.sk/maps/))

### 3.2 Výber nástrojov pre matematické modelovanie

Modelovaný úsek Dunaj Devín – Medveďov bol rozdelený na dve samostatne modelované oblasti:

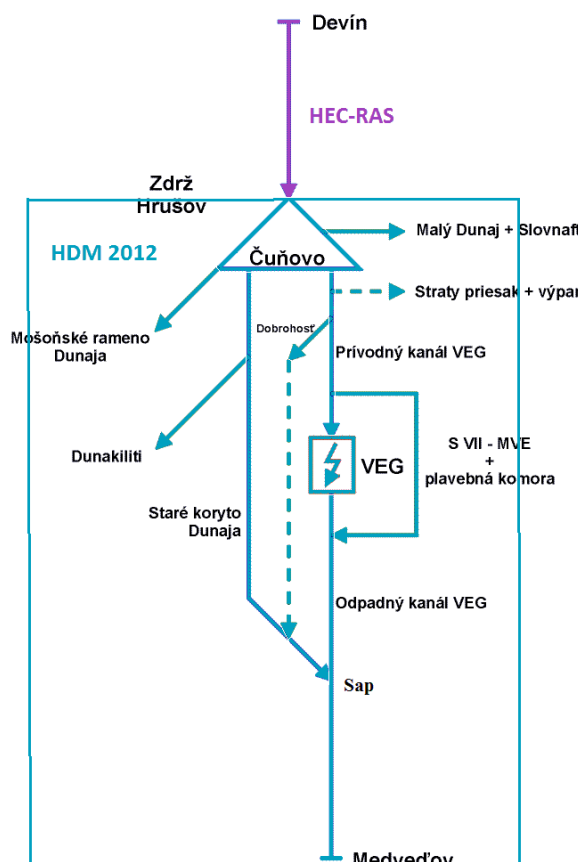
- A. úsek Devín – stupeň Čunovo – model HEC-RAS ( 27,62 km),
- B. úsek stupeň Čunovo – Medveďov – model HDM2012 (staré koryto Dunaja 40,75 km, derivačný kanál 38,17 km).

Pre potreby riešenia bola záujmová oblasť rozdelená na dva samostatné modely:

- **Model oblasti A realizovaný v prostredí HEC-RAS** - bol prevzatý z riešenia výskumnej úlohy Vodohospodársky model prevádzky VD Gabčíkovo riešenej na katedre HTE v spolupráci s VÚVH Bratislava – tento som kalibroval na povodňové prietoky (VÚVH, 2008).
- **Model oblasti B HDM 2012** je model vyvinutý na katedre HTE na riešenie hydraulických úloh prevádzky kanálových VE. Model bol, počnúc verziou 2002, úspešne nasadený na riešenie problematiky kanálových VE na Váhu ako aj v rámci riešenia čiastkových úloh na SVD-GN. Veľkou výhodou HDM oproti modelovaciemu prostrediu HEC-RAS je, že má priamo včlenené objekty typu vodná elektráreň, ktorý HEC-RAS nemá k dispozícii (Možiešik, L. a kol., 2008).

Na obrázku 3.2 Chyba! Nenašiel sa žiadnen zdroj odkazov. je zobrazená hydraulická schéma záujmovej oblasti spolu s rozdelením na využitie modelovacích nástrojov HEC-RAS a HDM2012. Dominantným viacúčelovým objektom je vodná elektráreň Gabčíkovo (VEG). Pri bežných prietokoch je jej hlavnou úlohou efektívne využiť prietok vody v Dunaji na výrobu elektrickej energie a zabezpečiť plavbu na Dunaji cez dve plavebné komory.

Pri povodňových situáciách je to prevádzkanie povodňových prietokov cez osem turbín v energetickom režime, a to až do poklesu spádu vody na VEG pod hodnotu 13 m. Potom prichádza k odstavovaniu turbín z energetickej prevádzky a pokles prietoku cez turbíny sa má nahradiť prietokom cez plavebné komory (PLK) a obtoky PLK (Dušička, Květon, 2002).



Obr. 3.2 Hydraulická schéma záujmovej oblasti a aplikácie matematických modelov

Vzhľadom na nie najlepší technický stav PLK sa nasadenie uvedeného postupu odkladalo na poslednú chvíľu aj v roku 2013 a turbíny boli prevádzkované počas troch dní aj tesne pod povolenú hranicu spádu 13 metrov. Skúsenosti z roku 2013 sa premietli do návrhu dočasného manipulačného poriadku X. (DMP), ktorý takýto postup bude zrejme legalizovať aj v budúcnosti.

#### 4 ANALÝZA VODOHOSPODÁRSKÝCH OBJEKTOV SVD-GN

Základnou dokumentáciou pre riešenie povodňových stavov na vodnom diele je Povodňový plán zabezpečovacích prác SVD GN (VV, š.p.) a Povodňový plán zabezpečovacích prác SVP, š. p., OZ Bratislava.

Povodňovým prietokom sa rozumie prietok, ktorý v rozhodujúcom profile Bratislava – Devín dosiahne hodnotu  $6\ 142\ m^3.s^{-1}$  a viac, čo je I. stupeň povodňovej aktivity (I. stupeň PA – 670 cm – vodný stav vo vodomernom profile Bratislava – Devín).

Pre potreby získania relevantných údajov do databáz dát a znalostí pre ES som vykonal analýzu VH objektov SVD-GN s cieľom zdigitalizovať krivky prevádzkových parametrov objektov podielajúcich sa na prevádzkaní povodňových prietokov cez SVD-GN a vytvoriť nástroje pre riadiaci systém ES.

##### 4.1 Stupeň Čunovo - hlavné prevádzkové parametre

Pod pojmom stupeň Čunovo sa rozumie skupina objektov s rôznym významom, funkciou a využitím. Patrí sem prehradenie koryta Dunaja, odberný objekt do Mošonského ramena Dunaja, hat' v inundácii, vodná elektráreň Čunovo, stredová hat', pomocná plavebná komora, sklz pre športovú plavbu, umelý kanál pre vodácke športy, hat' na obtoku, prevádzkový prístav Čunovo, prieplach v hornej vode, prieplach v dolnej vode, dočasná dnová prehrádzka v rkm 1843, zdrž Hrušov a jej hrádze, priesakové kanály a objekty na kanáloch, derivačný kanál a objekty na ňom, aj polder v pravostrannej inundácii zdrže a MVE Dobrohošť.

Objekty, ktoré zohrávajú najvýznamnejšiu úlohu pri prevádzkaní povodňových prietokov cez stupeň Čunovo sú VE Čunovo, hat' na obtoku, hat' v inundácii a stredová hat' (Obr. 4.1). Hlavné prevádzkové parametre týchto objektov som uviedol do tabuľiek, v príspevku uvádzam príklad pre hat' v inundácii (Tab. 4.1).

**Hat' v inundácii** je vybudovaná na pravej strane Dunaja, v jeho inundácii. Účelom hate je odvádzat' vodu do koryta Dunaja v spolupráci so stredovou haťou a haťou na obtoku. Na obrázku 4.2 je uvedený postup digitalizácie údajov a stanovenie konkrétneho prietoku objektu hate v inundácii, umožňujúci zaradenie údajov do databázy dát ES a riadiacemu systému ES získať kapacitu objektu na základe informácie o počte vyhradených haťových polí a hladiny vody na stupni Čunovo. Prietočná kapacita je daná počtom vyhradených haťových polí, riadiaci mechanizmus ES tak môže modelovať aj prietok haťou pri výpadku haťových polí z prevádzky. Obdobne som spracoval všetky relevantné objekty.

Tab.4.1 Hat' v inundácii

| Hať v inundácii                             | hodnota | jednotky         |
|---|---------|------------------|
| počet haťových polí                         | 20      | [ks]             |
| šírka 1 pola                                | 24      | [m]              |
| hradiaca výška                              | 3,6     | [m]              |
| kapacita hate pri hl. v zdrži 130,10 m n.m. | 2400    | [ $m^3.s^{-1}$ ] |
| kapacita hate pri hl. v zdrži 131,10 m n.m. | 5200    | [ $m^3.s^{-1}$ ] |
| kapacita hate pri hl. v zdrži 131.50 m n.m. | 5830    | [ $m^3.s^{-1}$ ] |

Poznámky:

1. Hodnoty prietoku cez objekt sú pre dokonalý prepad. Tieto by bolo vhodné doplniť o údaje o možnom vplyve zniženia spádu na stupni Čunovo na veľkosť prietoku.
2. Hodnoty prietoku v DMP sú uvedené ešte pre rôzne zdvihy dolnej hrany segmentu (od 0,25 do 2,5 m s krokom 0,25 m). Tieto by bolo vhodné tiež digitalizovať a tak popísat aj situácie poruchy zdvihacieho zariadenia (napr. zaseknutie pri určitom zdvihu)

Rozdelenie prietokov na jednotlivé objekty a postup zapájania jednotlivých objektov stupňa Čunovo do prevádzania vody cez stupeň podľa DMP X. je uvedené v Tab. 4.2, a to pre prípad, že je v prevádzke na VE Gabčíkovo 8 TG. Prevádzková hladina v zdrži je na kóte max. 131,10 m n. m. v profile rkm 1851,75 (pri  $Q_{100}$  131,50 m n.m., pri  $Q_{1000}$  132,00 m n. m.).

Logické nezrovnalosti v Tab. 4.2 sú predovšetkým v stanovení odberov a strát, ktoré sa pri zmene prietoku v profile Devín medzi 6 500 a 13 500  $m^3.s^{-1}$  nemenia. Chybajúce údaje o prietoku v profile Sap by boli užitočné pre stanovenie informácie o sploštení povodňovej vlny na úseku Devín – Sap. Údaj o prietoku cez profil Sap pre  $Q_{100}$  a  $Q_{1000}$  priamo spochybňujú údaj o stratách a odberoch, ktoré by mali byť logicky vo väzbe na predpokladaný prietok v profile Sap oveľa väčšie. Straty na prietoku na úseku od Devína po Sap pre  $Q_{100}$  ( $1\ 100\ m^3.s^{-1}$ ) a  $Q_{1000}$  ( $1\ 400\ m^3.s^{-1}$ ) v sebe zahŕňajú aj ďalšie straty na úsekoch:

1. straty na úseku Devín – SVD-GN v Tab. 7.5 sa predpokladajú ako nulové
2. straty v starom koryte Dunaja od objektov Čunovo po Sap

Tab. 4.2 Odvedenie povodňových prietokov cez SVD-GN podľa DMP X.

| Stupeň Čunovo  |                 |                  |                    |              | Odbery<br>a straty | VEG   | $Q_{DEV}$ | Sap     |
|----------------|-----------------|------------------|--------------------|--------------|--------------------|-------|-----------|---------|
| VE<br>Čunovo   | Stredová<br>hať | Hať na<br>obtoku | Hať v<br>inundácii | $\Sigma$ SKD |                    |       |           |         |
| $[m^3.s^{-1}]$ |                 |                  |                    |              |                    |       |           |         |
| 360            | 500             | 200              | 351                | 1411         | 180                | 4409  | 6000      |         |
| 360            | 600             | 200              | 520                | 1680         | ***330             | 4490  | 6500      |         |
| 360            | 800             | 200              | 910                | 2270         | ***330             | 4400  | 7000      |         |
| -              | 1570            | 400              | 1100               | 3070         | ***330             | 4100  | 7500      |         |
| -              | 1870            | 600              | 1400               | 3870         | ***330             | 3800  | 8000      |         |
| -              | 2125            | 600              | 1800               | 4525         | ***330             | 3845  | 9000      |         |
| -              | 2700            | 800              | 2410               | 5910         | ***330             | 3760  | 10000     |         |
| -              | 3200            | 900              | 3190               | 7290         | ***330             | *3380 | 11000     | 9900    |
| -              | 3300            | 1140             | 5110               | 9550         | ***330             | *3620 | **13500   | **12100 |

\* - povodňové prietoky na stupni Gabčíkovo sa prepúšťajú cez VE a PLK

\*\* - prietok Dunaja v Sape bude  $12\ 100\ m^3.s^{-1}$  (sploštenie povodne)

\*\*\* - vrátane odberného objektu Dobrohošť max.  $90\ m^3.s^{-1}$

Táto tabuľka (Tab. 4.22) je pritom jediný návod na proces, ktorý sa nazýva **prerozdelenie prietokov** medzi staré koryto Dunaja a VEG.

Tabuľka 4.3 ukazuje maximálne kapacity objektov na stupni Čunovo. Hodnoty pre posledné dva stĺpce sú pri povodňových stavoch, kedy prietok cez objekty negatívne ovplyvňuje dolná voda. Tieto údaje platia pri súbežnom využívaní týchto hydrotechnických objektov.

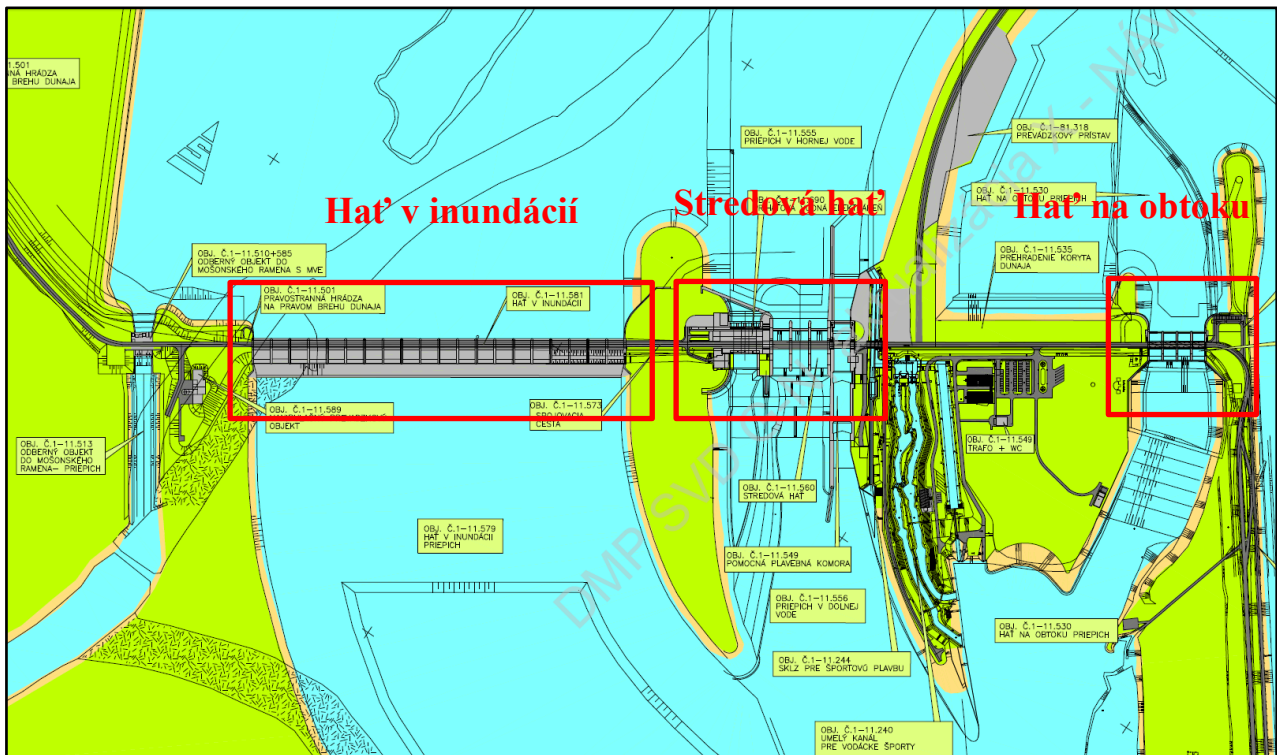
Tab. 4.3 Maximálne kapacity objektov na stupni Čunovo

| Objekty na stupni Čunovo         | Bežné prietoky | Zvýšené prietoky | $Q_{100}$             | $Q_{1000}$    |
|----------------------------------|----------------|------------------|-----------------------|---------------|
| horná hladina [m n. m.]          | do 131,10      | 131,50           | 131,50                | 132,00        |
| dolná hladina [m n. m.]          | x              | x                | do 130                | x             |
| odberný objekt a MVE Mošoň       | 40             | 0                | 0                     | 0             |
| Hať v inundácii [ $m^3.s^{-1}$ ] | 5200           | 6995             | 5407 (*5830)          | **6700        |
| VE Čunovo [ $m^3.s^{-1}$ ]       | 360            | 0                | 0                     | 0             |
| Stredová hať [ $m^3.s^{-1}$ ]    | 3300           | 4345             | 2666 (*3800)          | **3500        |
| Po PLK [ $m^3.s^{-1}$ ]          | 0              | 0                | 0 (*200)              | 200           |
| Hať na obtoku [ $m^3.s^{-1}$ ]   | 1420           | 1638             | 1390 (*1600)          | **1800        |
| <b>Spolu</b> [ $m^3.s^{-1}$ ]    | <b>10 320</b>  | <b>12 978</b>    | <b>9463 (*11 430)</b> | <b>12 200</b> |

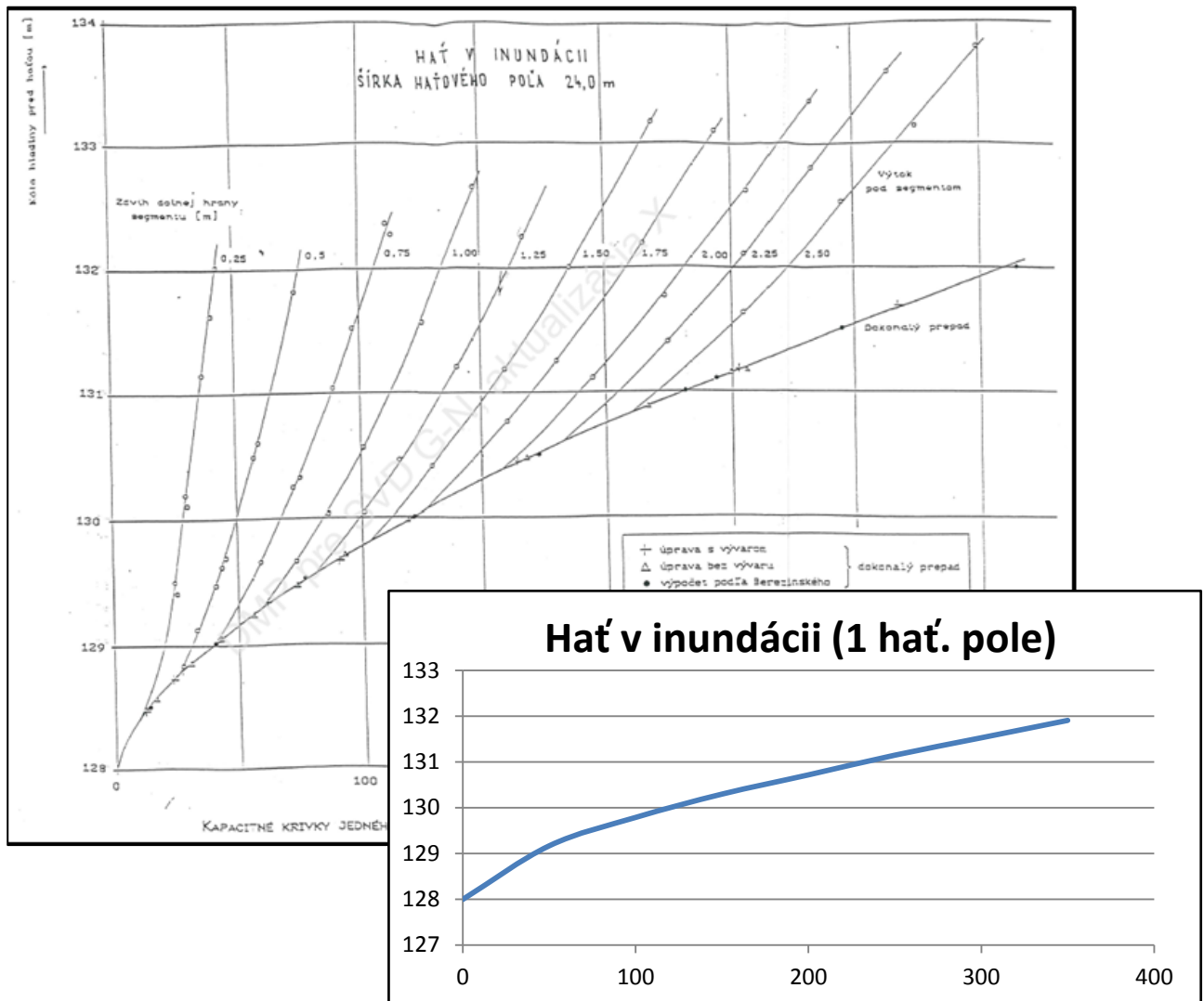
\* údaje prevzaté z práce: VD GA, stupeň Čunovo, kalibrácia hydrotechnických objektov, VÚVH 2008

\*\* údaje sú extrapolované z práce: VD GA, stupeň Čunovo, kalibrácia hydrotechnických objektov, VÚVH 2008

Modrým obdĺžnikom sú vyznačené hodnoty hornej a dolnej hladiny pre prietok  $Q_{100}$  na stupni Čunovo. Je to jediný údaj v celom DMP o požadovanom spáde vody na stupni Čunovo, zabezpečujúci prevedenie vody s celkovým maximálnym prietokom  $9\ 463\ m^3.s^{-1}$ .



Obr.4.1 Stupeň Čunovo - situácia



Obr. 4.2 Hat' v inundácii - digitalizácia parametrov a stanovenie konkrétneho prietoku

#### 4.2 Stupeň Gabčíkovo - hlavné prevádzkové parametre

Stupeň Gabčíkovo tvorí vodná elektráreň Gabčíkovo, plavebné komory a odberný objekt S-VII (kanál Gabčíkovo – Topoľníky) s energetickým využitím. Rozhodujúcimi objektmi pri prevádzaní povodňových prietokov sú plavebné komory s obtokmi a VE Gabčíkovo (Obr.4.3).

**Vodná elektráreň Gabčíkovo** využíva hydroenergetický potenciál Dunaja na výrobu elektriny. Hydroenergetický potenciál sa využíva aj počas povodňových prietokov, pokiaľ to umožňujú spádové pomery.

Vo VE Gabčíkovo je inštalovaných 8 TG s jednotkovým dosiahnutelným výkonom 90 MW, s celkovým výkonom elektrárne 720 MW. Prevádzka vodnej elektrárne bez vybudovania dolného stupňa sústavy Nagymaros, je priebežná s hladinovou reguláciou na objektoch zdrže Hrušov, prívodného kanála a VEG.

Hlavné prevádzkové parametre VEG sú uvedené v tabuľke 4.4. Na Obr. 4.4 je uvedený postup digitalizácie údajov a stanovenie konkrétneho minimálneho a maximálneho prietoku cez VEG, umožňujúci zaradenie údajov do databázy dát ES a riadiacemu systému ES získať kapacitu VEG pre konkrétny spád na stupni Gabčíkovo. Riadiaci mechanizmus ES má k dispozícii hodnoty minimálneho a maximálneho prietoku cez jednu turbínu ako aj maximálny a minimálny prietok cez všetky turbíny v prevádzke pri danom spáde na stupni Gabčíkovo.

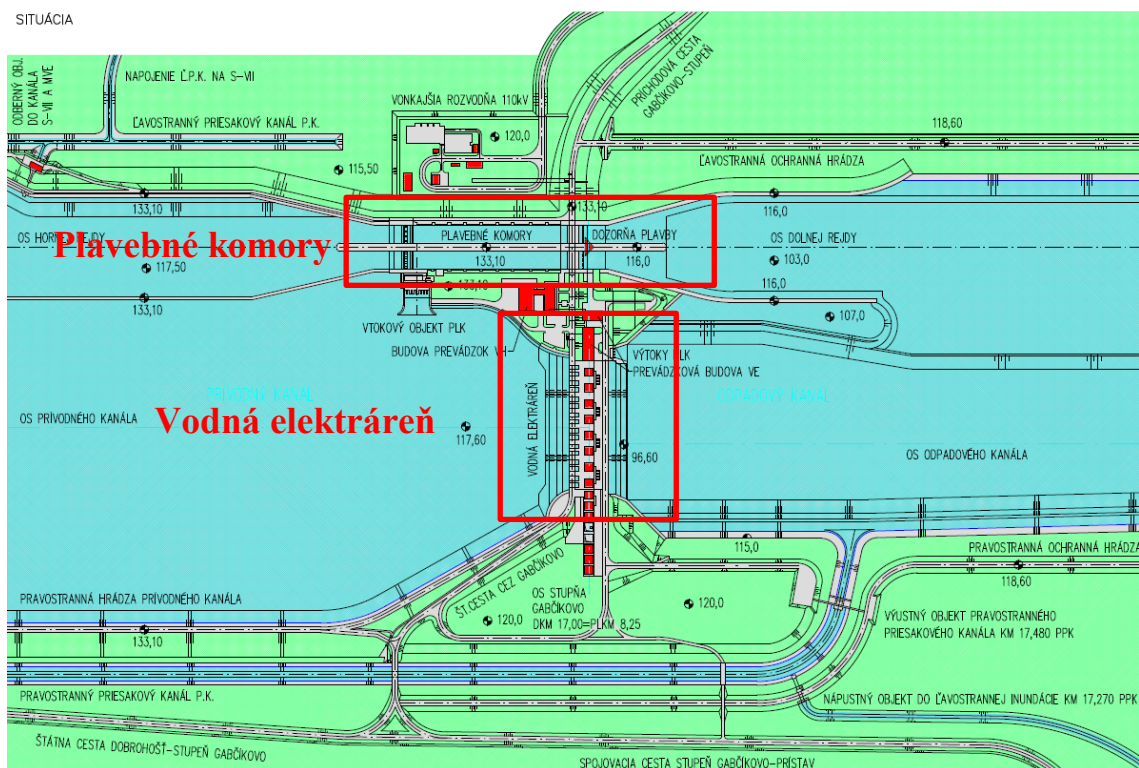
*Tab. 4.4 VEG hlavné prevádzkové parametre*

| Vodná elektráreň Gabčíkovo          | IX. DMP        | X. DMP               | jednotka                           |
|-------------------------------------|----------------|----------------------|------------------------------------|
| počet turbín                        | 8              |                      | [ks]                               |
| typ                                 | kaplan 4-K-15G |                      |                                    |
| inštalovaný výkon                   | 90 x 8 = 720   | 90 x 8 = 720         | [MW]                               |
| hltnosť                             | 413 až 636     | 413 až 636           | [m <sup>3</sup> .s <sup>-1</sup> ] |
| max. horná hladina                  | 131.1          | 131.1                | [m n.m.]                           |
| min. horná hladina                  | 128.5          | 128.5                | [m n.m.]                           |
| min. horná hladina pri výnim. stave | 128.2          | 128.2                | [m n.m.]                           |
| min. využiteľný spád                | 13             | 13                   | [m]                                |
| min. možný spád (výnimočne)         | <b>12.5</b>    | <b>12.88 (12,70)</b> | [m]                                |

Údaj uvedený o minimálnom možnom spáde (výnimočnom) je v návrhu DMP X. *zvýšený* na základe konkrétnych skúseností s povodňou 2013 a technickom stave TG, ktoré budú potrebovať generálnu údržbu.

## STUPEŇ GABČÍKOVO

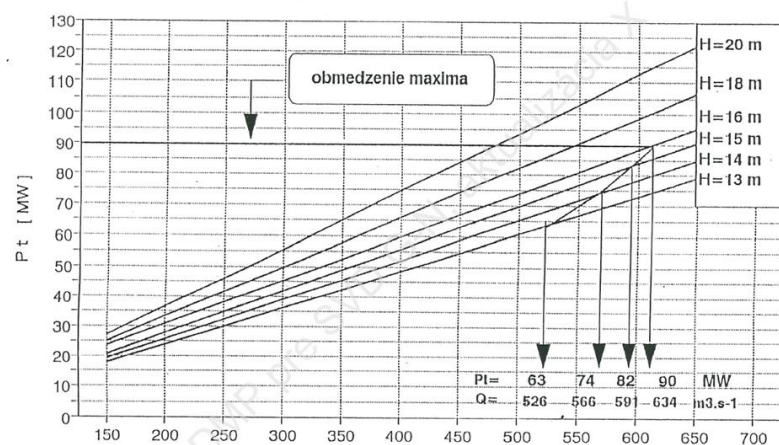
SITUÁCIA



Obr.4.3 Stupeň Gabčíkovo - situácia

### Výkonový diagram

turbín VE Gabčíkovo [predbežný]



| H<br>[m] | Q <sub>min</sub><br>[m <sup>3</sup> .s <sup>-1</sup> ] | P <sub>min</sub><br>[MW] | Q <sub>max</sub><br>[m <sup>3</sup> .s <sup>-1</sup> ] | P <sub>max</sub><br>[MW] |
|----------|--|--------------------------|--|--------------------------|
| 20       |  | 78                       | 480  | 90                       |
| 18       | 413  | 68                       | 545  | 90                       |
| 16       | 413  | 62                       | 634  | 90                       |
| 15       | 413  | 57                       | 591  | 82                       |
| 14       | 413  | 54                       | 566  | 74                       |
| 13       | 413  | 51                       | 526  | 63                       |

| VEG      | počet turbín |             | H     | 1 turbína                          |                                    | Q <sub>VEG</sub>                   |                                    |
|----------|--------------|-------------|-------|------------------------------------|------------------------------------|------------------------------------|------------------------------------|
|          | inštalované  | v prevádzke |       | spád                               | min Q <sub>tur</sub>               | max Q <sub>tur</sub>               | min Q <sub>VEG</sub>               |
| jednotky | [ks]         | [ks]        | [m]   | [m <sup>3</sup> .s <sup>-1</sup> ] |
|          | 8            | 4           | 13.25 | 413                                | 536                                | 1652                               | 2144                               |

Obr. 4.4 Digitalizácia údajov z výkonového diagramu turbín VEG a stanovenie konkrétneho prietoku

Rýchle a presné stanovenie jednotlivých prietokov na základe predpokladaného vývoja prevádzkových hladín na VEG je realizované riadiacim systémom ES na základe digitalizovaných

merných kriviek objektov vložených do bázy dát ES. Prínosom je aj odstránenie subjektívnych chýb dispečera pri odčítaní údajov z merných kriviek v DMP.

Vytvára sa tak pre dispečera dostatočný časový priestor na variantné riešenie konkrétnej povodňovej situácie.

Podobne boli zdigitalizované aj údaje pre PLK a obtoky PLK.

## 5 VYGENEROVANIE MATICE PREVÁDZKOVÝCH STAVOV

Potreba naplnenia databázy dát ES údajmi matice riadenia umožňujúcimi v ďalšom kroku rýchlu a efektívnu podporu dispečerského riadenia je logická a bola podporená výsledkami štúdie DMP IX. A X.

### 5.1 Matice prevádzkových stavov

Riadenie rozhodovacieho procesu na základe matíc prevádzkových stavov (ďalej len matice riadenia) je pri riešení zložitých dejov založené na vygenerovaní viacrozmerných matíc riešenia pre konkrétnu postupnosť hodnôt základných parametrov konkrétnej úlohy. Dimenzia matíc je daná počtom základných parametrov systému. Výber postupnosti hodnôt pre daný základný parameter systému musí zohľadňovať nelinearitu modelovaného systému. Údaje do matice riadenia sú generované prostriedkami matematického modelovania.

Prerozdeľovanie povodňového prietoku cez VH objekty SVD-GN je zložitý proces so základnými parametrami:

1. Kóta hladiny vody v Hrušovskej zdrži (128,20 – 132,00 m n. m.)
2. Prítok Dunaja do Hrušovskej zdrže (časovo transformovaný a veľkosťou redukovaný prietok Dunaja v profile Devín)
3. Rozdelenie prietoku medzi staré koryto Dunaja a VEG

Z uvedeného vyplýva, že všeobecná matica riadenia SVD-GN by mala byť trojrozmerná (*Obr. 5.1*). V mojom konkrétnom prípade som riešenie orientoval na maximálne energetické využitie prietoku cez VEG a teda som zvolil vo výpočtoch kótu hladiny v Hrušovskej zdrži zodpovedajúcu maximálnej prevádzkovej hladine.

Za tejto podmienky sa počet základných parametrov zredukoval na:

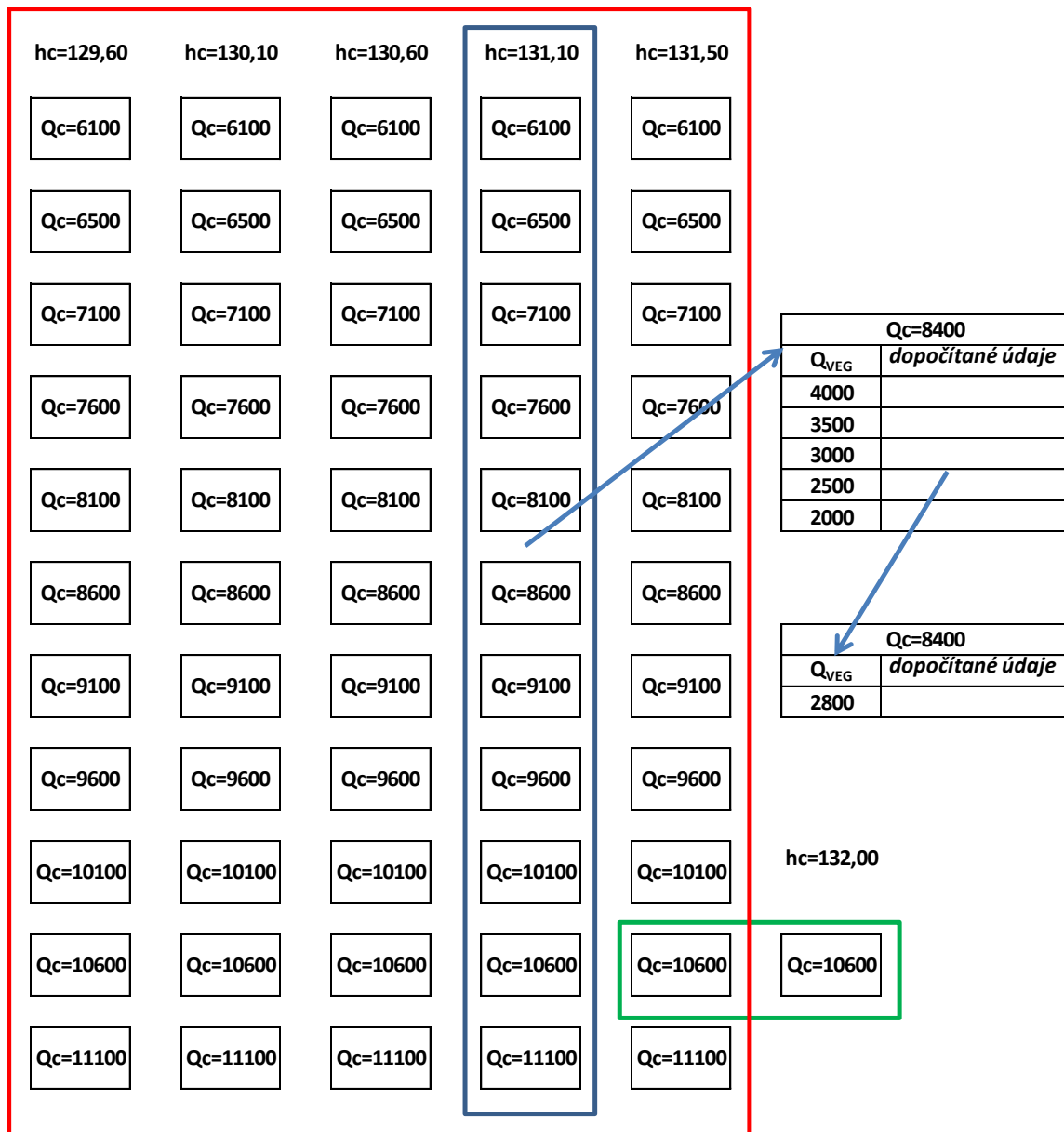
1. Prítok Dunaja do Hrušovskej zdrže, postupnosť generovaných hodnôt je od 1. SPA 6 100  $\text{m}^3 \cdot \text{s}^{-1}$  do 11 100  $\text{m}^3 \cdot \text{s}^{-1}$  s krokom 500  $\text{m}^3 \cdot \text{s}^{-1}$ .
2. Rozdelenie prietoku medzi staré koryto Dunaja a VEG je realizované cez parameter prietoku cez VEG, postupnosť generovaných hodnôt od 4 000  $\text{m}^3 \cdot \text{s}^{-1}$  do 2 000  $\text{m}^3 \cdot \text{s}^{-1}$  s krokom 500  $\text{m}^3 \cdot \text{s}^{-1}$ . Hodnota parametra prietoku cez staré koryto Dunaja je dopočítaná hodnota do veľkosti prítoku v profile stupňa Čunovo.

Na obrázku 5.1 je ukázaná štruktúra základnej trojrozmernej matice riadenia SVD-GN pre široký rozsah riadenia procesu prevádzania povodňových prietokov od 6 100 do 11 100  $\text{m}^3 \cdot \text{s}^{-1}$  a s regulovanou hladinou v Hrušovskej zdrži od 129,60 do 131,50 m n.m. (červené orámovanie). Úplnú maticu riadenia by sme dostali až vygenerovaním všetkých možných prevádzkových stavov pre kóty hladiny vody v Hrušovskej zdrži (128,20 – 132,00 m n. m.). Ďalším možným rozšírením by bolo doplnenie prevádzkových stavov pre širší rozsah prietokov cez VEG na 1 500 až 4 500  $\text{m}^3 \cdot \text{s}^{-1}$ .

V práci je riešená dvojrozmerná matica riadenia pre maximálnu prevádzkovú hladinu v Hrušovskej zdrži 131,10 m n. m (modré orámovanie).

Pre výnimočné hladiny v Hrušovskej zdrži, ktoré sú spojené s prietokmi  $Q_{100}$  a  $Q_{1000}$ , boli realizované výpočty s celkovým prietokom na úrovni stupňa Čunovo 10 600  $\text{m}^3 \cdot \text{s}^{-1}$  (zelené

orámovanie). Na obrázku 8.1 je ďalej znázornený postup výpočtov smerujúcich k určeniu dopadov určitého prerozdelenia konkrétneho prietoku cez profil stupňa Čunovo (modré šípky).



|                  |                                    |   |
|------------------|------------------------------------|---|
| hc               | [m n.m.]                           | kóta hladiny na stupni Čunovo           |
| Qc               | [m <sup>3</sup> .s <sup>-1</sup> ] | celkový prietok na úrovni stupna Cunovo |
| Q <sub>VEG</sub> | [m <sup>3</sup> .s <sup>-1</sup> ] | prietok cez objekty VEG                 |

Obr. 5.1 Štruktúra trojrozmernej matice riadenia

## 6 VYTvorenie NÁSTROJOV NA VYHĽADÁVANIE V MATICI RIADENIA

Výsledkom realizácie scenárov (definovaných v časti 5 tejto práce) je riadiaca matica  $11 \times 5$  vektorov hydraulických parametrov v rozhodujúcich prierezoch vodohospodárskej stavby. V tabuľkách (Tab. 6.1 a Tab. 6.2) sú údaje z rezov úplnej matice riadenia pre prietoky  $Q_C = 6100 \text{ m}^3.\text{s}^{-1}$  a  $Q_C = 11\ 100 \text{ m}^3.\text{s}^{-1}$ .

V jednotlivých scenároch sú farebne označené prekrocenia kritických hodnôt prevádzkových parametrov. Príkladom je v tabuľke 9.3 červenou farbou označenie zníženie spádu vody na VEG pod hodnotu 12,88 m (definovaná hladina pre krátkodobé poklesnutie minimálnej hodnoty spádu pre energetickú prevádzku turbín). Oranžovou farbou je označené zníženie spádu na VEG v intervale hodnôt 12,88 - 13 m.

Tab. 6.1 Rez maticou riadenia pre  $Q_C = 6100 \text{ m}^3 \cdot \text{s}^{-1}$

| $Q_C$<br>[ $\text{m}^3 \cdot \text{s}^{-1}$ ]        | 6100  | Stupeň Čunovo         |                       |             | Stupeň Gabčíkovo      |                       |             | Sap                 | Medveďov            |   |
|--|---|-----------------------|-----------------------|-------------|-----------------------|-----------------------|-------------|---------------------|---------------------|---|
| Staré koryto<br>[ $\text{m}^3 \cdot \text{s}^{-1}$ ] | VEG<br>[ $\text{m}^3 \cdot \text{s}^{-1}$ ] | Hl. horná<br>[m n.m.] | Hl. dolná<br>[m n.m.] | Spád<br>[m] | Hl. Horná<br>[m n.m.] | Hl. dolná<br>[m n.m.] | Spád<br>[m] | Hladina<br>[m n.m.] | Hladina<br>[m n.m.] | Q<br>[ $\text{m}^3 \cdot \text{s}^{-1}$ ] |
| 2100.00  | 4000.00                                     | 131.10                | 125.62                | 5.48        | 130.62                | 115.63                | 14.99       | 115.43              | 114.69              | 6100.00                                   |
| 2600.00  | 3500.00                                     | 131.10                | 126.10                | 5.00        | 130.74                | 115.63                | 15.11       | 115.44              | 114.69              | 6100.00                                   |
| 3100.00  | 3000.00                                     | 131.10                | 126.56                | 4.54        | 130.83                | 115.63                | 15.20       | 115.45              | 114.69              | 6100.00                                   |
| 3600.00  | 2500.00                                     | 131.10                | 127.00                | 4.10        | 130.89                | 115.63                | 15.26       | 115.46              | 114.69              | 6100.00                                   |
| 4100.00  | 2000.00                                     | 131.10                | 127.42                | 3.68        | 130.95                | 115.63                | 15.32       | 115.47              | 114.69              | 6100.00                                   |

Tab. 6.2 Rez maticou riadenia pre  $Q_C = 11\ 100 \text{ m}^3 \cdot \text{s}^{-1}$

| $Q_C$<br>[ $\text{m}^3 \cdot \text{s}^{-1}$ ]        | 11100                                       | Stupeň Čunovo         |                       |             | Stupeň Gabčíkovo      |                       |             | Sap                 | Medveďov            |   |
|--|---|-----------------------|-----------------------|-------------|-----------------------|-----------------------|-------------|---------------------|---------------------|---|
| Staré koryto<br>[ $\text{m}^3 \cdot \text{s}^{-1}$ ] | VEG<br>[ $\text{m}^3 \cdot \text{s}^{-1}$ ] | Hl. horná<br>[m n.m.] | Hl. dolná<br>[m n.m.] | Spád<br>[m] | Hl. horná<br>[m n.m.] | Hl. dolná<br>[m n.m.] | Spád<br>[m] | Hladina<br>[m n.m.] | Hladina<br>[m n.m.] | Q<br>[ $\text{m}^3 \cdot \text{s}^{-1}$ ] |
| 7100.00  | 4000.00                                     | 131.10                | 129.56                | 1.54        | 130.62                | 119.01                | 11.61       | 118.75              | 117.69              | 11100.00                                  |
| 7600.00  | 3500.00                                     | 131.10                | 129.86                | 1.24        | 130.74                | 119.01                | 11.73       | 118.76              | 117.69              | 11100.00                                  |
| 8100.00  | 3000.00                                     | 131.10                | 130.15                | 0.95        | 130.84                | 119.01                | 11.83       | 118.77              | 117.69              | 11100.00                                  |
| 8600.00  | 2500.00                                     | 131.10                | 130.42                | 0.68        | 130.93                | 119.01                | 11.92       | 118.78              | 117.69              | 11100.00                                  |
| 9100.00  | 2000.00                                     | 131.10                | 130.69                | 0.41        | 130.99                | 119.01                | 11.98       | 118.79              | 117.69              | 11100.00                                  |

## 6.1 Viacozmerná interpolácia údajov v matici riadenia

Riadiaci mechanizmus ES nám umožňuje v prvom kroku priestorovou interpoláciou vygenerovať rez maticou riadenia pre konkrétny prítok  $Q_C = 9\ 250 \text{ m}^3 \cdot \text{s}^{-1}$  (Tab. 6.3).

Tab. 6.3 1. interpolácia v matici riadenia pre konkrétnu hodnotu  $Q_C = 9\ 250 \text{ m}^3 \cdot \text{s}^{-1}$

| $Q_C$<br>[ $\text{m}^3 \cdot \text{s}^{-1}$ ]        | 9250  | Stupeň Čunovo         |                       |             | Stupeň Gabčíkovo      |                       |             | SAP                 | Medveďov            |   |
|--|---|-----------------------|-----------------------|-------------|-----------------------|-----------------------|-------------|---------------------|---------------------|---|
| Staré koryto<br>[ $\text{m}^3 \cdot \text{s}^{-1}$ ] | VEG<br>[ $\text{m}^3 \cdot \text{s}^{-1}$ ] | Hl. Horná<br>[m n.m.] | Hl. dolná<br>[m n.m.] | Spád<br>[m] | Hl. horná<br>[m n.m.] | Hl. dolná<br>[m n.m.] | Spád<br>[m] | Hladina<br>[m n.m.] | Hladina<br>[m n.m.] | Q<br>[ $\text{m}^3 \cdot \text{s}^{-1}$ ] |
| 5250.00  | 4000.00                                     | 131.10                | 128.30                | 2.80        | 130.62                | 117.87                | 12.75       | 117.66              | 116.69              | 9250.00                                   |
| 5750.00  | 3500.00                                     | 131.10                | 128.66                | 2.44        | 130.74                | 117.87                | 12.87       | 117.66              | 116.69              | 9250.00                                   |
| 6250.00  | 3000.00                                     | 131.10                | 129.02                | 2.08        | 130.84                | 117.87                | 12.97       | 117.66              | 116.69              | 9250.00                                   |
| 6750.00  | 2500.00                                     | 131.10                | 129.34                | 1.76        | 130.93                | 117.87                | 13.05       | 117.66              | 116.69              | 9250.00                                   |
| 7250.00  | 2000.00                                     | 131.10                | 129.65                | 1.45        | 130.99                | 117.87                | 13.12       | 117.66              | 116.69              | 9250.00                                   |

V druhom kroku sa realizuje výpočet vektora hydraulických parametrov pre konkrétné základné parametre  $Q_C = 9\ 250 \text{ m}^3 \cdot \text{s}^{-1}$  a  $Q_{VEG} = 2\ 800 \text{ m}^3 \cdot \text{s}^{-1}$  (Tab. 6.4).

Tab. 6.4 2. interpolácia v matici riadenia pre konkrétny prietok  $Q_{VEG} = 2\ 800 \text{ m}^3 \cdot \text{s}^{-1}$

|      |      |        |        |      |        |        |       |        |        |      |
|------|------|--------|--------|------|--------|--------|-------|--------|--------|------|
| 6450 | 2800 | 131.10 | 129.15 | 1.95 | 130.88 | 117.87 | 13.01 | 117.66 | 116.69 | 9250 |
|------|------|--------|--------|------|--------|--------|-------|--------|--------|------|

## 6.2 Prepojenie údajov z matice riadenia s databázami ES

Možnosti konkrétnej realizácie požadovaných prietokov na jednotlivých zariadeniach SVD-GN nám poskytne prepojenie výsledkov vyhľadávania v matici riadenia s databázami dát a znalostí. V Tab. 6.5 sú uvedené údaje z matice riadenia pre  $Q_C = 9\ 400 \text{ m}^3 \cdot \text{s}^{-1}$  a  $Q_{VEG} = 2\ 100 \text{ m}^3 \cdot \text{s}^{-1}$ . Tieto sú ďalej využité na ďalšie dispečerské rozhodnutia.

Tab. 6.5 Získané údaje z matice riadenia pre  $Q_C = 9\ 400 \text{ m}^3 \cdot \text{s}^{-1}$  a  $Q_{VEG} = 2\ 100 \text{ m}^3 \cdot \text{s}^{-1}$

| $Q_{Devín} - Q_{str} [\text{m}^3/\text{s}]$          | 9400  | Stupeň Čunovo         |                       |          | Stupeň Gabčíkovo      |                       |          | SAP                 | Medveďov            |  |
|--|---|-----------------------|-----------------------|----------|-----------------------|-----------------------|----------|---------------------|---------------------|--|
| Staré koryto<br>[ $\text{m}^3 \cdot \text{s}^{-1}$ ] | $Q_{VEG}$<br>[ $\text{m}^3 \cdot \text{s}^{-1}$ ] | Hl. Horná<br>[m n.m.] | Hl. Dolná<br>[m n.m.] | spád [m] | Hl. Horná<br>[m n.m.] | Hl. Dolná<br>[m n.m.] | spád [m] | Hladina<br>[m n.m.] | Hladina<br>[m n.m.] | $Q$ [ $\text{m}^3 \cdot \text{s}^{-1}$ ] |
| 5400,00  | 4000,00   | 131,10                | 128,41                | 2,69     | 130,62                | 117,97                | 12,65    | 117,75              | 116,77              | 9400,00                                  |
| 5900,00  | 3500,00   | 131,10                | 128,77                | 2,33     | 130,74                | 117,97                | 12,78    | 117,75              | 116,77              | 9400,00                                  |
| 6400,00  | 3000,00   | 131,10                | 129,12                | 1,98     | 130,84                | 117,97                | 12,88    | 117,75              | 116,77              | 9400,00                                  |
| 6900,00  | 2500,00   | 131,10                | 129,44                | 1,66     | 130,93                | 117,97                | 12,96    | 117,75              | 116,77              | 9400,00                                  |
| 7400,00  | 2000,00   | 131,10                | 129,74                | 1,36     | 130,99                | 117,97                | 13,02    | 117,75              | 116,77              | 9400,00                                  |
|  |   |                       |                       |          |                       |                       |          |                     |                     |  |
| 7300   | 2100  | 131,10                | 129,68                | 1,42     | 130,98                | 117,97                | 13,01    | 117,75              | 116,77              | 9400                                     |

Submatica z Tab. 6.5 mi dáva priamo návod v akom intervale prietokov cez VEG mám hľadať riešenie problému prerozdelenia prietokov cez SVD-GN (t.j. medzi 2000 a 2500  $\text{m}^3 \cdot \text{s}^{-1}$ ) s preferovaným energetickým využitím existujúceho hydropotenciálu na VEG.

Požadovaný prietok  $Q_{VEG} = 2\ 100 \text{ m}^3 \cdot \text{s}^{-1}$  je možné previesť iba cez turbínový prietok bud' 4-mi alebo 5-timi TG (Tab. 6.6, údaje so zeleným podfarbením).

Tab. 6.6 Realizovateľnosť prietokov cez zariadenia VEG

| VEG          |       |                                    |           |      |                  |
|--------------|-------|------------------------------------|-----------|------|------------------|
| počet turbín | H     | $Q_{min}$                          | $Q_{max}$ | Q    | realizovateľnosť |
| [ks]         | [m]   | $[\text{m}^3 \cdot \text{s}^{-1}]$ |           |      |                  |
| 1            | 13,01 | 413                                | 526,40    | 2100 | 0                |
| 2            | 13,01 | 826                                | 1052,80   | 2100 | 0                |
| 3            | 13,01 | 1239                               | 1579,20   | 2100 | 0                |
| 4            | 13,01 | 1652                               | 2105,60   | 2100 | 1                |
| 5            | 13,01 | 2065                               | 2632,00   | 2100 | 1                |
| 6            | 13,01 | 2478                               | 3158,40   | 2100 | 0                |
| 7            | 13,01 | 2891                               | 3684,80   | 2100 | 0                |
| 8            | 13,01 | 3304                               | 4211,20   | 2100 | 0                |

| Plavebné komory |             |           |                                    |            |                  |
|-----------------|-------------|-----------|------------------------------------|------------|------------------|
| inštalované     | v prevádzke | hl. horná | $Q_{1PLK}$                         | $\Sigma Q$ | realizovateľnosť |
| [ks]            |             | [m n.m.]  | $[\text{m}^3 \cdot \text{s}^{-1}]$ |            |                  |
| 2               | 1           | 130,98    | 1288,9                             | 1288,9     | 1                |

| Obtoky PLK  |             |       |                                    |            |                  |
|-------------|-------------|-------|------------------------------------|------------|------------------|
| inštalované | v prevádzke | H     | $Q_{1obt}$                         | $\Sigma Q$ | realizovateľnosť |
| [ks]        |             | [m]   | $[\text{m}^3 \cdot \text{s}^{-1}]$ |            |                  |
| 2           | 1           | 13,01 | 612,1                              | 612,1      | 1                |

Alternatívne riešenie prevádzania prietoku cez PLK a obtoky PLK má maximálnu kapacitu iba  $1\ 901\ m^3.s^{-1}$  (jedna PLK je mimo prevádzky). Z uvedeného dôvodu pri poklese spádu vody na VEG pod 13 m nie je možné výpadok turbínového prietoku úplne nahradíť cez PLK a obtoky PLK.

Požadovaný prietok  $Q_{SK} = 7\ 300\ m^3.s^{-1}$  je možné previesť iba spoločne cez Stredovú hať a Hat' v inundácii (**Chyba! Nenašiel sa žiadnený zdroj odkazov.7**). Hať na obtoku sa nemusí zatiaľ otvoriť.

*Tab. 6.7 Realizovateľnosť prietokov cez zariadenia stupňa Čunovo*

| Stredová hať |             |           |                  |                  |  |
|--------------|-------------|-----------|------------------|------------------|--|
| hat'. polí   | v prevádzke | hl. horná | $\Sigma Q$       | realizovateľnosť |  |
|              | [ks]        | [m n.m.]  | [ $m^3.s^{-1}$ ] |                  |  |
| 3            | 3           | 131,10    | 3960             | 1                |  |

| Hať na obtoku |             |           |                  |                  |  |
|---------------|-------------|-----------|------------------|------------------|--|
| hat'. polí    | v prevádzke | hl. horná | $\Sigma Q$       | realizovateľnosť |  |
|               | [ks]        | [m n.m.]  | [ $m^3.s^{-1}$ ] |                  |  |
| 4             | 4           | 131,10    | 1418,2           | 1                |  |

| Hať v inundácii |             |           |             |                  |                  |
|-----------------|-------------|-----------|-------------|------------------|------------------|
| hat'. polí      | v prevádzke | hl. horná | $Q_{1pole}$ | $\Sigma Q$       | realizovateľnosť |
|                 | [ks]        | [m n.m.]  |             | [ $m^3.s^{-1}$ ] |                  |
| 20              | 20          | 131,10    | 244,2       | 4883,7           | 1                |

| Vodná elektráreň Čunovo |             |      |            |                  |                  |
|-------------------------|-------------|------|------------|------------------|------------------|
| turbín                  | v prevádzke | H    | $Q_{1tur}$ | $\Sigma Q$       | realizovateľnosť |
|                         | [ks]        | [m]  |            | [ $m^3.s^{-1}$ ] |                  |
| 4                       | 4           | 1,42 | 100        | 400              | 0                |

|              |         |                  |
|--------------|---------|------------------|
| $\Sigma Q_c$ | 10261,9 | [ $m^3.s^{-1}$ ] |
|--------------|---------|------------------|

Na stupni Čunovo neboli dosiahnutý minimálny spád 3,5 m a z uvedeného dôvodu nie je možné cez VE realizovať turbínový prietok.

Uvedené riešenie **rozhodovania na základe riadiacej matice a databáz znalostí a dát ES** bolo vyvinuté a overené v prostredí tabuľkového procesora **Microsoft Excel**.

## 7 MOŽNOSTI REALIZÁCIE ELEKTRONICKEJ VERZIE MANIPULAČNÉHO PORIADKU VS

Manipulačný poriadok VH stavby obsahuje množstvo prevádzkových údajov vodného diela (databáza dát ES) ako aj postupy pre riešenie špecifických prevádzkových situácií (databáza znalostí pre ES).

Stráženie súladu aktuálnych prevádzkových údajov vodného diela s manipulačným poriadkom je pre dispečera zbytočne náročné a pri zložitej schéme vodného diela aj obtiažne. Po zdigitalizovaní manipulačného poriadku, teda jeho prevedení do databáz dát a znalostí, sa môže využiť technológia kontroly súladu s MP označovaná ako „**Watch Dog**“. Takto vytvorený podporný dispečerský systém môžeme považovať za **elektronickú verziu manipulačného poriadku**.

Prepojením expertného systému so systémom merania a zberu prevádzkových údajov na vodnom diele (*external interfaces* ES) sa naplní databáza dát aktuálnymi prevádzkovými údajmi vodnej stavby (Tab. 7.1).

*Tab. 7.1 Tabuľka aktuálnych prevádzkových hydraulických údajov SVD-GN*

| Prevádzkové parametre vodného diela    |        | objekt        | Horná hladina [m n.m.] | Dolná hladina [m n.m.] |
|--|--------|---------------|------------------------|------------------------|
| $Q_{DEV}$ [ $m^3 \cdot s^{-1}$ ]       | 10 000 | Stupeň Čunovo | 131,5                  | 129,5                  |
| $Q_{VEG}$ [ $m^3 \cdot s^{-1}$ ]       | 4000   | VEG           | 130,9                  | 117,25                 |
| $Q_{SKD}$ [ $m^3 \cdot s^{-1}$ ]       | 5630   |               |                        |                        |
| $Q_{str}$ [ $m^3 \cdot s^{-1}$ ]       | 330    |               |                        |                        |
| $Q_{VE}$ Čunovo [ $m^3 \cdot s^{-1}$ ] | 365    |               |                        |                        |

Vytvorenie elektronickej verzie MP si vyžaduje jednoznačné označenie čísla podmienky cez jej štruktúrované číslo napr.:  
*vd.d.n*

|                  |                      |          |                  |
|------------------|----------------------|----------|------------------|
| kde je <b>vd</b> | vodné dielo          | <b>C</b> | stupeň Čunovo    |
|                  |                      | <b>G</b> | vodná elektráreň |
| <b>d</b>         | druh podmienky       | <b>1</b> | vodohospodárska  |
|                  |                      | <b>2</b> | energetická      |
|                  |                      | <b>3</b> | plavebná         |
|                  |                      | <b>4</b> | iný účel         |
| <b>n</b>         | por. číslo podmienky |          |                  |

Príklad č. 1 (Tab. 7.2) popisuje kontrolu prepúšťania vody cez Po PLK Čunovo, ktorá sa používa až od prietoku  $Q_{100}$  v Dunaji (**hodnota MP**):

$$\text{Funkcia} = \text{IF}(\text{aktualna hodnota} > \text{hodnota MP}, 0,1)$$

Príklad č. 2 popisuje kontrolu turbínovej prevádzky na VEG vo väzbe na požadovaný minimálny hydraulický spád (**hodnota MP**):

$$\text{Funkcia} = \text{IF}(\text{aktualna hodnota} > \text{hodnota MP}, 0,1)$$

Príklad č. 3 popisuje kontrolu plavebnej prevádzky na stupni Gabčíkovo (dodržanie minimálnej podjazdovej výšky pre plavidlá) vo väzbe na požadovanú maximálnu hodnotu hladiny dolnej vody (**hodnota MP**):

$$\text{Funkcia} = \text{IF}(\text{aktualna hodnota} < \text{hodnota MP}, 0,1)$$

Nesúlad položky **stav** s výslednou hodnotou **Funkcie** vyhodnotil systém ako chybu a vyznačil konkrétnu položku červenou farbou.

*Tab. 7.2 Ukážka technológie Watch Dog*

| číslo obj. | názov objektu - parameter | stav | riadiaci prevádzkový parameter |            |                  | Funkcia |
|------------|---------------------------|------|--------------------------------|------------|------------------|---------|
|            |                           |      | názov                          | hodnota MP | aktuálna hodnota |         |
| C 1.1      | Po PLK - prietok          | 1    | $Q_{DEV}$                      | 11 000     | 10 000           | 0       |
| G 2.1      | VEG - spád                | 1    | spád H                         | 13         | 13,65            | 1       |
| G 3.1      | PLK - podjazd. výška      | 1    | max. hl. v dolnej vode         | 115,8      | 117,25           | 0       |

Zadávanie prevádzkových podmienok z MP môže byť zložitejšie – vyžadujúce viacej sledovaných parametrov. Tabuľka 7.3 ukazuje príklad pre zadávanie podmienky z MP s dvoma parametrami. Príkladom je zadávanie zhora aj zdola ohraničeného intervalu požadovaného parametra – turbínová prevádzka VE Čunovo je možná iba pri intervale hodnoty spádu 3,5 – 7,1 m.

Príklad č.4 (Tab. 7.3) popisuje kontrolu turbínovej prevádzky VE Čunovo vo väzbe na požadovaný interval využiteľného spádu vody na VE Čunovo (***hodnota MP1, hodnota MP2***):

$$\text{Funkcia} = \text{IF}((\text{akt.hod.1} > \text{hod.MP1}).\text{and}.(\text{akt.hod.2} < \text{hod.MP2}), 0,1)$$

Tab. 7.3 Zadávanie podmienky z MP s dvoma parametrami

| číslo obj. | názov objektu - parameter | stav objektu | riadiace prevádzkové parametere |             |                    |         |              |                    |         |
|------------|---------------------------|--------------|---------------------------------|-------------|--------------------|---------|--------------|--------------------|---------|
|            |                           |              | názov 1                         | hodnota MP1 | aktuálna hodnota 1 | názov 2 | hodnota MP 2 | aktuálna hodnota 2 | Funkcia |
| C 2.1      | Vodná elektráreň          | 1            | spád H                          | 3,5         | 2                  | spád H  | 7,1          | 2                  | 0       |

Významným vedľajším prínosom tvorby elektronického MP **je aj odhalenie možných logických alebo hodnotových nezrovnalostí v MP** a ich následné odstránenie v aktualizácii MP.

## 8 ZÁVER

Prínos práce predstavuje návrh a vytvorenie základných prvkov expertného systému na podporu dispečerského riadenia SVD-GN počas prevádzkania povodňových prietokov na základe získaných informácií o:

- priebehu povodňovej situácie – aktuálny prietok v profile Bratislava – Devín a prognózy jeho vývoja,
- aktuálnych prevádzkových vodohospodárskych parametroch SVD-GN (vrátane funkčnosti jednotlivých objektov),
- pripravovanej manipulácií s prietokom cez SVD-GN.

Realizované postupy je možné aplikovať aj iné vodohospodárske sústavy. Pri aplikácii uvedených postupov na ďalší VH sústavu bude potrebné zodpovedať aj komplex otázok riešený v tejto práci. Systém riadiacich matíc je úplne všeobecný a nie je závislý od použitého matematického modelu vodohospodárskej sústavy.

Z vygenerovanej **databázy dát ES** (prostriedkami matematického modelovania) a vytvorených **databáz dát a znalostí ES** (elektronický prepis manipulačného poriadku) budú dispečerovi poskytnuté informácie **riadiacim systémom ES** o dopade pripravovanej manipulácie na prevádzkové parametre SVD-GN (vývoj hladín nad a pod VH objektmi) spolu s informáciou o možnosti ich realizovateľnosti objektmi SVD-GN.

V práci riešené otázky a postupy sú **aplikovateľné na ľubovoľné vodné dielo. Naplnenie matic prevádzkových stavov objektov** je nezávislé od použitého matematického modelu. Údaje z modelovania sa získavajú offline, čo umožňuje **použitie zložitých matematických modelov** s presnejšími výsledkami.

## **9 LITERATÚRA**

- Dušička, P., Květon, R.: Hydrodynamický model VE Gabčíkovo. In 10 rokov prevádzky VE Gabčíkovo : Gabčíkovo, Slovak Republic, 23.-24.10.2002. Trenčín: Slovenské elektrárne, 2002, s. 285--291.
- Květon, R., Orfánus, M.: Hydroinformatika. Skriptá. Slovenská technická univerzita v Bratislave. Pripravené na publikovanie 2015
- Možiešik, L. a kol.: Vodohospodársky model prevádzky VD Gabčíkovo. Technická správa. Slovenská technická univerzita v Bratislave, Katedra Hydrotechniky. 2008
- Vodohospodárska výstavba, štátny podnik: Dočasný manipulačný poriadok pre sústavu vodných diel Gabčíkovo-Nagymaros na území Slovenskej republiky Aktualizácia X. 2015
- Vodohospodárska výstavba, štátny podnik: Dočasný manipulačný poriadok pre sústavu vodných diel Gabčíkovo-Nagymaros na území Slovenskej republiky Aktualizácia IX. 2012
- Výskumný ústav vodného hospodárstva: VD GA, stupeň Čunovo, kalibrácia hydrotechnických objektov. Správa. VÚVH. 2008

---

Stanislav Kelčík, Ing. PhD., Výskumný ústav vodného hospodárstva, Nábr. Arm. Gen. L. Svobodu 5, 812 49 Bratislava, stanislav.kelcik@uvvh.sk